

Triode mit Edelgas- und Quecksilberdampffüllung

Triode, inert gas and mercury vapor filled

Triode à gaz inerte et à vapeur de mercure

Tríodo con relleno de gases nobles y vapor de mercurio

Glasausführung

Glass type

Exécution verre

Ejecución de vidrio

Kathode

direkt geheizt

Cathode

directly heated

Cathode

à chauffage direct

Cátodo

caldeado directamente

Montageanordnung : senkrecht mit dem Sockel nach unten

Mounting position: Vertical, base down

Disposition de montage: verticale avec culot vers le bas

Disposición de montaje: vertical con casquillo hacia abajo

Gewicht

Approx. net weight

} 0,4 kg
0,88 lbs

Poids

Peso

a = Anode

Anode

Anode

Anodo

g = Steuergitter

Control grid

Grille de contrôle

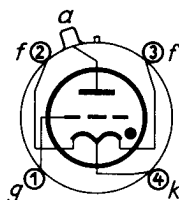
Rejilla de mando

f = Heizung

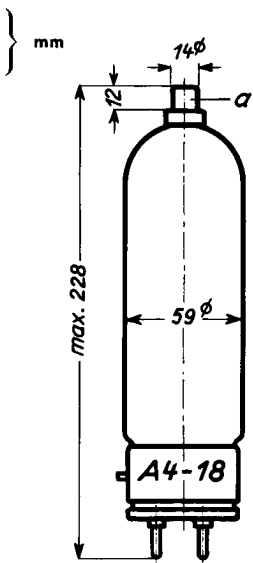
Filament

Filament

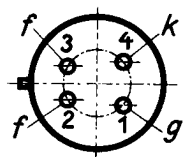
Filamento



Abmessungen
Dimensions
Dimensions
Dimensiones



Socketansicht von unten
Bottom view of base
Culot vu du bas
Casquillo visto desde abajo



Technische Werte

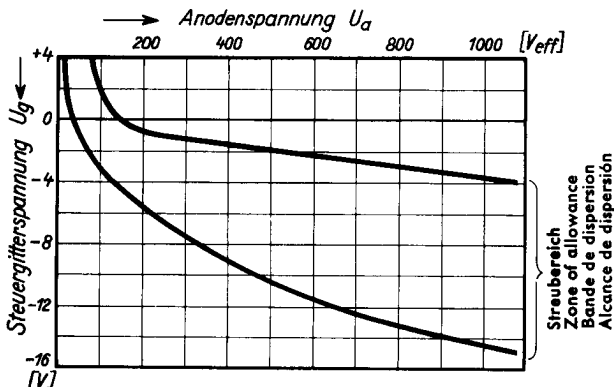
Technical data

Caractéristiques techniques

Datos técnicos

Heizspannung	U _f 2,5 V
Filament voltage	
Tension de chauffage	
Tensión de caldeo	
Heizstrom	J _f norm. 12 A max. 13,5 A
Filament current	
Courant de chauffage	
Corriente de caldeo	
Toleranz der Heizspannung	max. \pm 5 %
Max. permissible filament voltage fluctuation	
Fluctuation admissible de la tension de chauffage	
Tolerancia de la tensión de caldeo	
Anheizzeit	t _f min. 60 sec.
Cathode-heating time	
Temps de chauffage	
Tiempo de precaldeo	
Anodenspannung (Scheitelwert)	U _a max. 1,4 kV
Anode voltage rating, forward (crest value)	
Tension d'anode (valeur de crête)	
Tensión anódica (valor cresta)	
Sperrspannung (Scheitelwert)	U _{inv.} max. 1,4 kV
Anode voltage rating, inverse (crest value)	
Tension d'arrêt (valeur crête)	
Tensión inversa (valor cresta)	
Anodenstrom (Scheitelwert)	J _{max.} 40 A
Anode current (crest value)	
Courant d'anode (valeur de crête)	
Corriente anódica (valor cresta)	
Anodenstrom (Mittelwert)	J _a max. 3,2 A
Anode current (average)	
Courant d'anode (valeur moyenne)	
Corriente anódica (valor medio)	
Steuergitterspannung bei gesperrter Röhre (Scheitelwert)	U _g max - 250 V
Negative control grid bias of non-conducting tube (crest value)	
Tension grille contrôlée pour tube bloqué (valeur de crête)	
Tensión de rejilla de mandó con válvula no en- cendida (valor cresta)	

Steuergitterstrom (Scheitelwert)	} ig max. 0,1 A
Control grid current (crest value)	
Courant de grille (valeur de crête)	} Ig max. 0,02 A
Corriente de rejilla de mando (valor cresta)	
Gitterwiderstand	} Rg max. 100 k Ω
Max. grid resistance	
Résistance de grille	} U _B 15 V
Resistencia de rejilla	
Spannungsabfall an der gezündeten Röhre	} τ max. 15 sec.
Voltage drop during conduction	
Chute de tension (pendant la conduction)	} t _i 10 μ sec.
Caída de tensión	
Integrationszeit	} t _r 500 μ sec.
Integration time	
Temps d'intégration	} t _r 50 μ sec.
Tiempo de integración	
Jonisationszeit	} bei at à en } Ug = - 10 V t _r 500 μ sec.
Ionisation time	
Temps d'ionisation	} Ug = - 100 V t _r 50 μ sec.
Tiempo de ionización	
Freiwerdezeit	} C _{ag} 4,3 p F ($\mu\mu$ F)
Recovery time	
Temps de recouvrement	} C _g 14,4 p F ($\mu\mu$ F)
Tiempo de recobro	
Gitteranoden-Kapazität	} C _a 0,013 p F ($\mu\mu$ F)
Grid-anode capacity	
Capacité anode-grille	} min. -10° C max. +45° C
Capacidad del ánodo de rejilla	
Eingangs-Kapazität	} C _g 14,4 p F ($\mu\mu$ F)
Grid-cathode capacity	
Capacité d'entrée	} C _a 0,013 p F ($\mu\mu$ F)
Capacidad rejilla-filamento	
Ausgangs-Kapazität	} C _a 0,013 p F ($\mu\mu$ F)
Anode-cathode capacity	
Capacité de sortie	} min. -10° C max. +45° C
Capacidad ánodo-filamento	
Umgebungstemperatur	} min. -10° C max. +45° C
Ambient temperature	
Température ambiante	} min. -10° C max. +45° C
Temperatura de ambiente	



Zündkennlinienbereich bei einer großen Zahl von Röhren gemessen. Zündkennlinie stellt Steuergitterspannung U_g in Abhängigkeit von der Anodenwechselspannung U_a (Effektivwert) am Zündpunkt dar.

Band of ignition characteristics as determined from measurements of a multitude of tubes.

Breakdown characteristic presents grid potential U_g as function of anode voltage (effective) U_a at firing point.

Bandes des caractéristiques d'amorçage déterminée sur un grand nombre de tubes. La courbe des caractéristiques d'amorçage représente la tension de grille U_g en fonction de la tension alternative d'anode (valeur effective) au point d'amorçage.

Alcance de las características de ignición determinado en un gran número de válvulas medidas.

La característica de ignición representa la tensión de rejilla de mando U_g en dependencia de la tensión alterna anódica U_a (valor eficaz) en el punto de ignición.